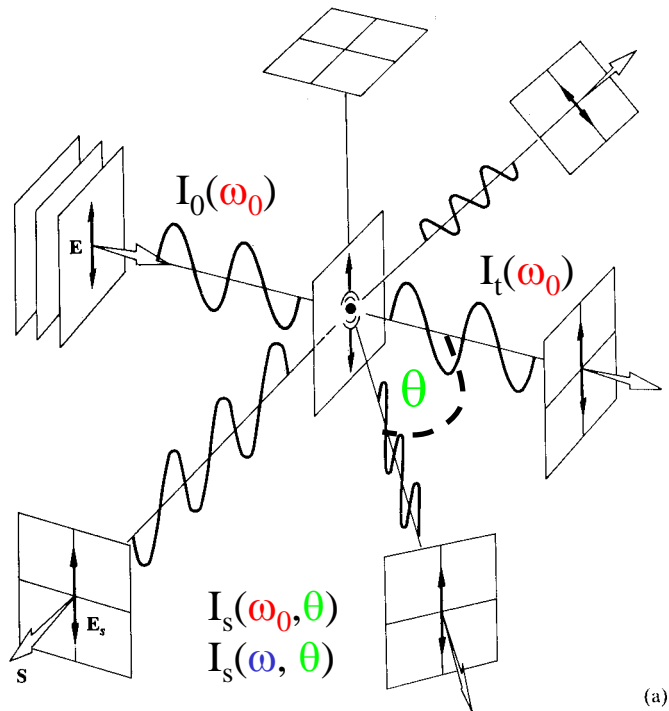


Grundlagen der Streuung: Teil I – Grundbegriffe

Streuung vs. Beugung

Typisches Streuexperiment



$I_0(\omega_0)$ = Einfallende Intensität

$I_t(\omega_0)$ = transmittierte Intensität

$I_s(\omega, \theta)$ = Streuintensität

$\omega = \omega_0$ elastische Streuung

$\omega \neq \omega_0$ inelastische Streuung

$$I_t = I_0 e^{-\varepsilon cd}$$

ε = Extinktionskoeffizient

c = Konzentration

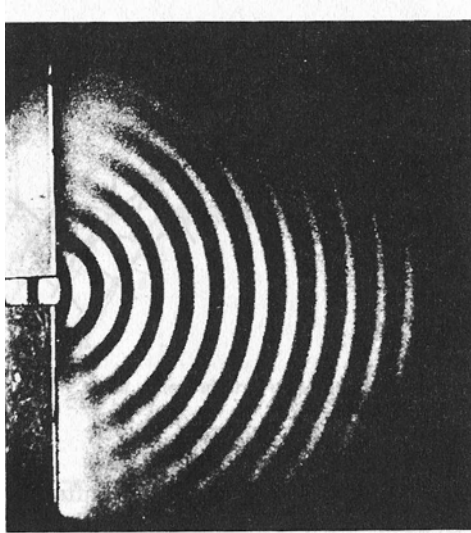
Lambert – Beer

d = Schichtdicke

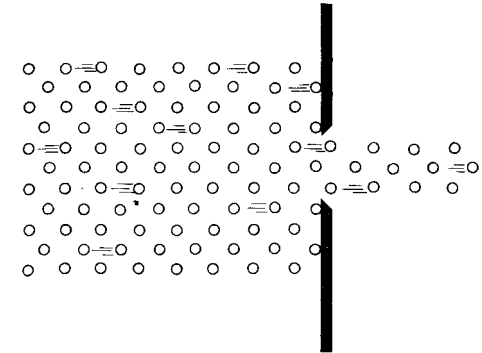
$$I_0 - I_t = I_{\text{ext}} = I_{\text{abs}} + I_s$$

Abbildung 8.36 Streuung von polarisiertem Licht durch ein Molekül.

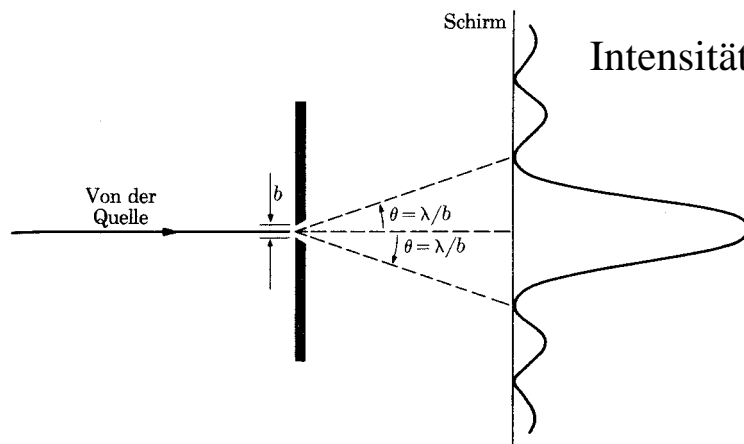
Typisches Beugungsexperiment: Beugung am Spalt



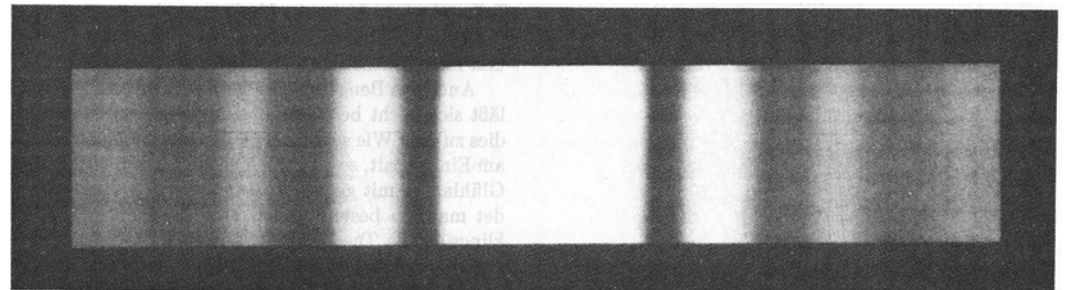
Beugung: Abweichung von der geradlinigen Ausbreitung
Typisches Wellenphänomen
(Wasserwellen, Schallwellen, Elektromagnet. Wellen)



Ein Teilchenstrom zeigt diesen Effekt nicht (solange Teilchengröße \ll Spaltgröße)



Intensitätsverteilung hinter einem Spalt



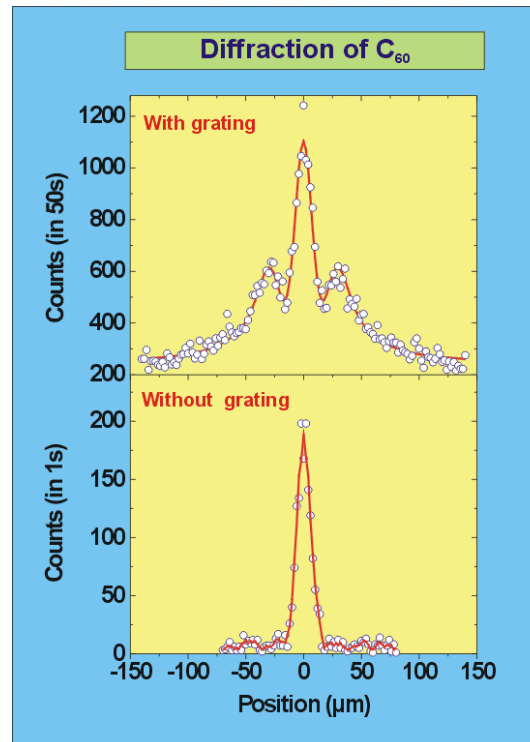
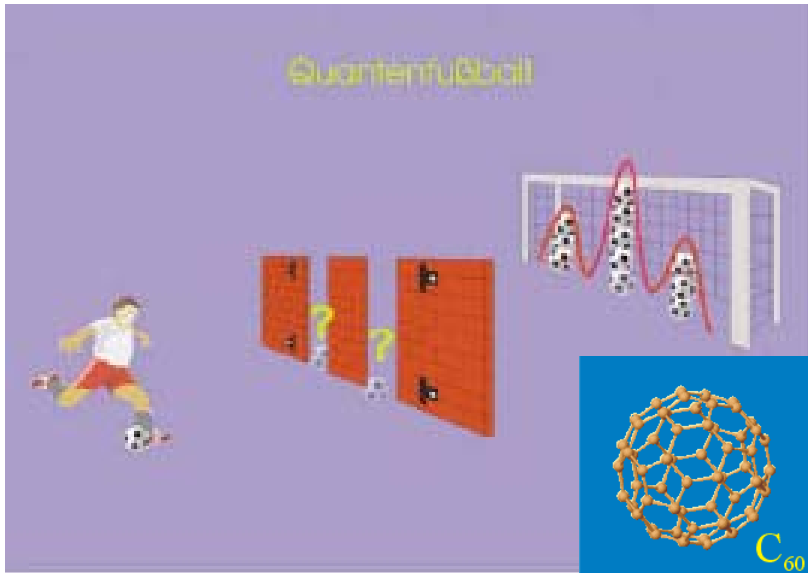
Fraunhoferbeugung an einem Einzelspalt

Materiewellen und Partikelstreuung

Welle-Teilchen-Dualismus $p = mv = \frac{h}{\lambda}$

Teilcheneigenschaft (**Impuls**) \swarrow \nwarrow Welleneigenschaft (**Wellenlänge**)

Moderner Nachweis der Materiewellen: Quantenfußball

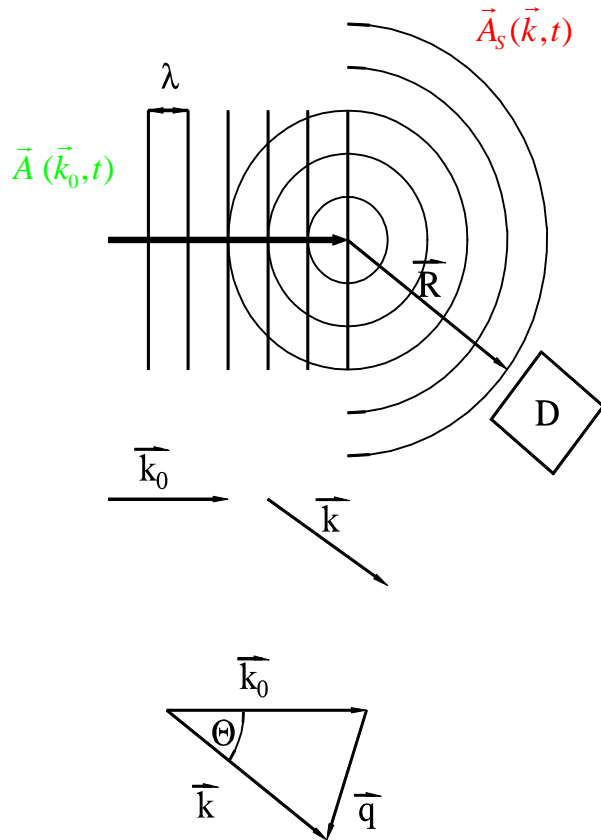


Partikelstremethoden:

Elektronenbeugung
Neutronenstreuung
Myonen-Streuung

Grundlagen der Streuung: Teil II – Von einem Streuer zu N Streuzentren

Ein Streuzentrum – Elementarer Streuprozess :



Einfallende Welle = ebene Welle

$$\vec{A}(\vec{k}_0, t) = \vec{A}_0 \exp\left[i\{\vec{k}_0 \vec{R} - \omega t\}\right]$$

Gestreurte Welle = Kugelwelle

$$\vec{A}_s(\vec{k}, t) = \frac{\vec{A}_0 b}{R} \exp\left[i\{\vec{k} \vec{R} - \omega t\}\right]$$

$$|\vec{k}_0| = \frac{2\pi}{\lambda} = |\vec{k}|$$

d.h. elastische Streuung

$$q = \frac{4\pi n_D}{\lambda} \sin \frac{\Theta}{2}$$

(q = Streuvektor, ist die Differenz der Wellenvektoren der einfallenden und der gestreuten Welle)

Θ

Streuwinkel

n_D

Brechungsindex des Mediums

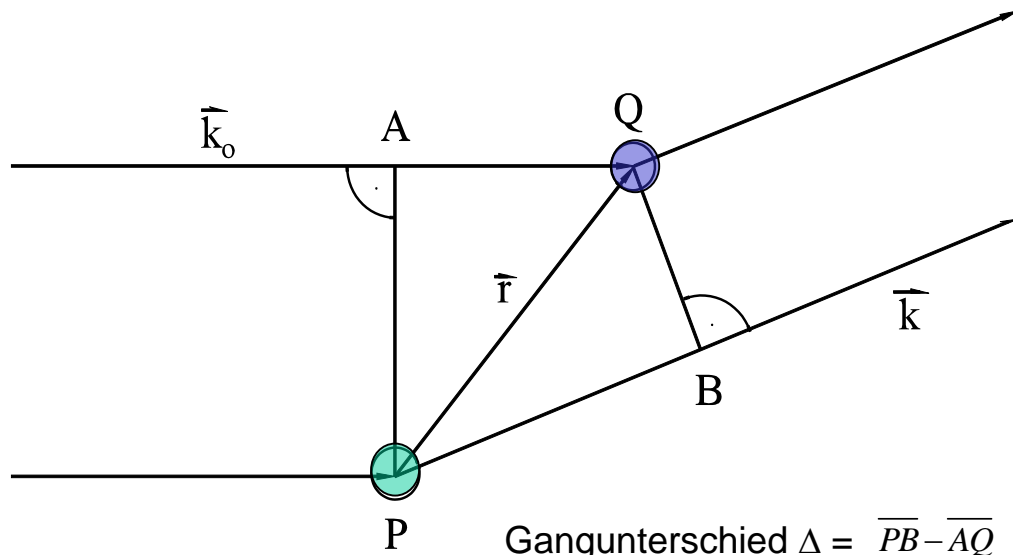
λ

Wellenlänge

b

Streuvermögen (abhängig von Art der Streuung – Licht, Xray etc.)

Streuung an zwei Streuzentren: Interferenz



$$\vec{A}_Q(\vec{k}, t) = \frac{\vec{A}_0 b}{R} \exp\left[i\left\{\vec{k}\vec{R} + \Phi\right\}\right] \exp(-i\omega t)$$

$$\vec{A}_P(\vec{k}, t) = \frac{\vec{A}_0 b}{R} \exp\left[i\left\{\vec{k}\vec{R}\right\}\right] \exp(-i\omega t)$$

Gangunterschied $\Delta = \overline{PB} - \overline{AQ} \Rightarrow$ Phasendifferenz $\Phi = \vec{q}\vec{r}$

$$\vec{A}_s(\vec{k}, t) = \vec{A}_P(\vec{k}, t) + \vec{A}_Q(\vec{k}, t) =$$

$$\frac{b\vec{A}_0}{R} \exp\left[i\left\{\vec{k}\vec{R}\right\}\right] \exp(-i\omega t) \underbrace{\left[1 + \exp(i\vec{q}\vec{r})\right]}_{\text{Strukturinformation}}$$

Wechselwirkung Welle \leftrightarrow Materie

Wellenausbreitung

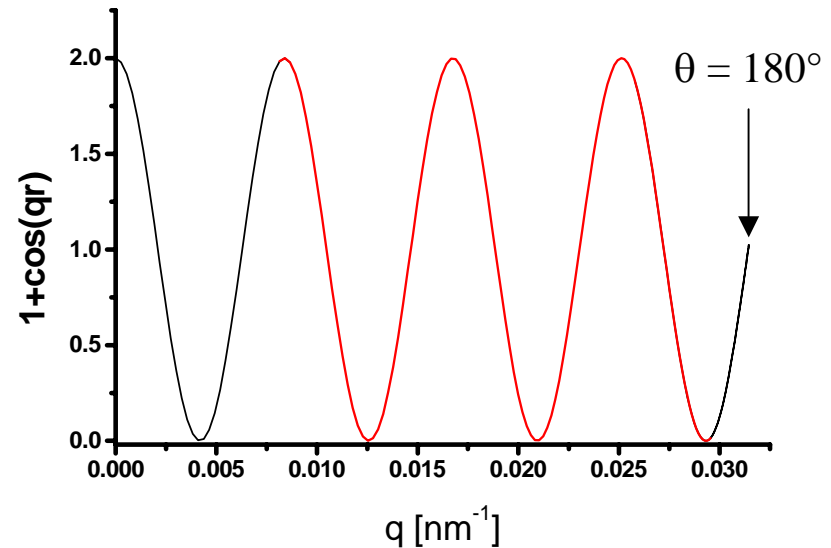
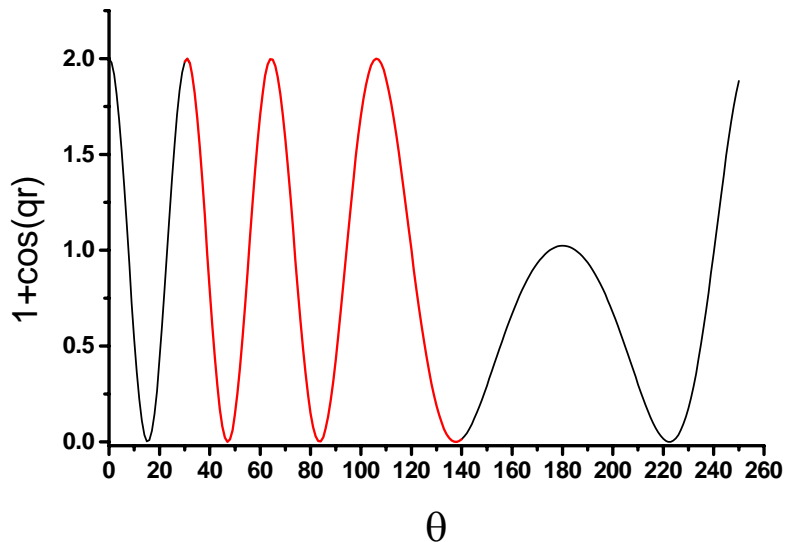
Interferenz \leftrightarrow Addition der Amplituden

Streuintensität für 2 Streuzentren (N = 2):

$$I(q,t) = \left| \vec{A}_s(\vec{k}, t) \right|^2 = \frac{\vec{A}_0^2 b^2}{R^2} (1 + e^{i\vec{q}\vec{r}}) (1 + e^{-i\vec{q}\vec{r}}) = \frac{2\vec{A}_0^2 b^2}{R^2} (1 + \cos(\vec{q}\vec{r}))$$

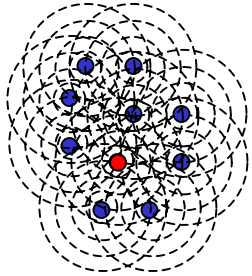
Streuintensität oszilliert mit

$$\vec{q}(\theta)\vec{r} \leftrightarrow I = I(q) \hat{=} I(\theta)$$



Berechnet mit $\lambda = 532 \text{ nm}$, $r = 750 \text{ nm}$, $n_D = 1.332$ (H_2O)

Streuung an vielen Streuzentren: N **diskrete, statische** Punktstreuer



Jede Sekundärwelle interferiert mit allen anderen \Rightarrow kompliziertes Interferenzmuster

$$I(q) = \sum_j^N \sum_k^N \frac{\vec{A}_0^2 b_j b_k}{R^2} e^{i\vec{q}\vec{r}_j} e^{-i\vec{q}\vec{r}_k}$$

Winkelabhängigkeit der Streuintensität $I(q)$



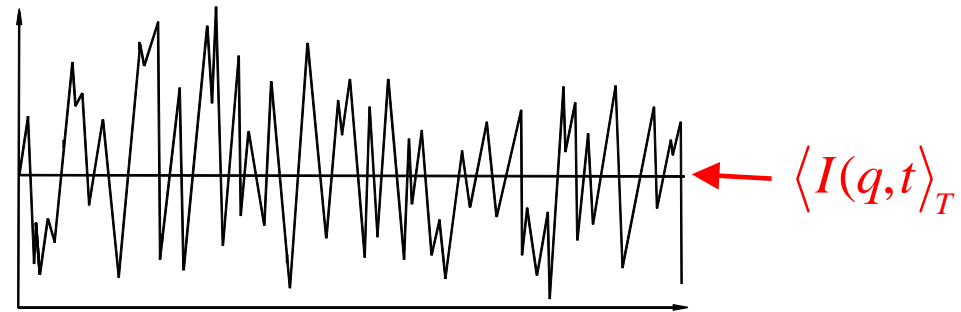
Anordnung der Streuzentren
(z.B. Kristallstrukturen)

Streuung an vielen Streuzentren: N **diskrete, dynamische** Punktstreuer



$$I(q, t) = \sum_j^N \sum_k^N \frac{\vec{A}_0^2 b_j b_k}{R^2} e^{i\vec{q}\vec{r}_j(t)} e^{-i\vec{q}\vec{r}_k(t)}$$

$I(q, t)$



Zeitlich fluktuierende Streuintensität \Leftrightarrow Bewegung der Streuzentren

Zwei Arten von Streuexperimenten:

- i) Statische Streuung: Messung der zeitlich gemittelten Streuintensität $\langle I(q,t) \rangle_T$
- ⇒ Bestimmung der **zeitlich gemittelten** Anordnung der streuenden Objekte
- Verdünte Systeme: Teilchenformfaktor $P(q)$ → Struktur von Molekülen und Makromolekülen;
- Dichte Systeme: statischer Strukturfaktor $S(q)$ → Nahordnung von Flüssigkeiten und konzentrierten Polymersystemen)
- ii) Dynamische Streuung: zeitliche Analyse der Intensitätsfluktuationen über Spektren $S(q,\omega)$ und Korrelationsfunktionen $f(q,t)$
- Verdünte Systeme: Bestimmung von Diffusionskoeffizienten
- Dichte Systeme: Zeitliche Veränderung von Strukturen (Strukturrelaxation)

Verknüpfung von Experiment und Theorie :

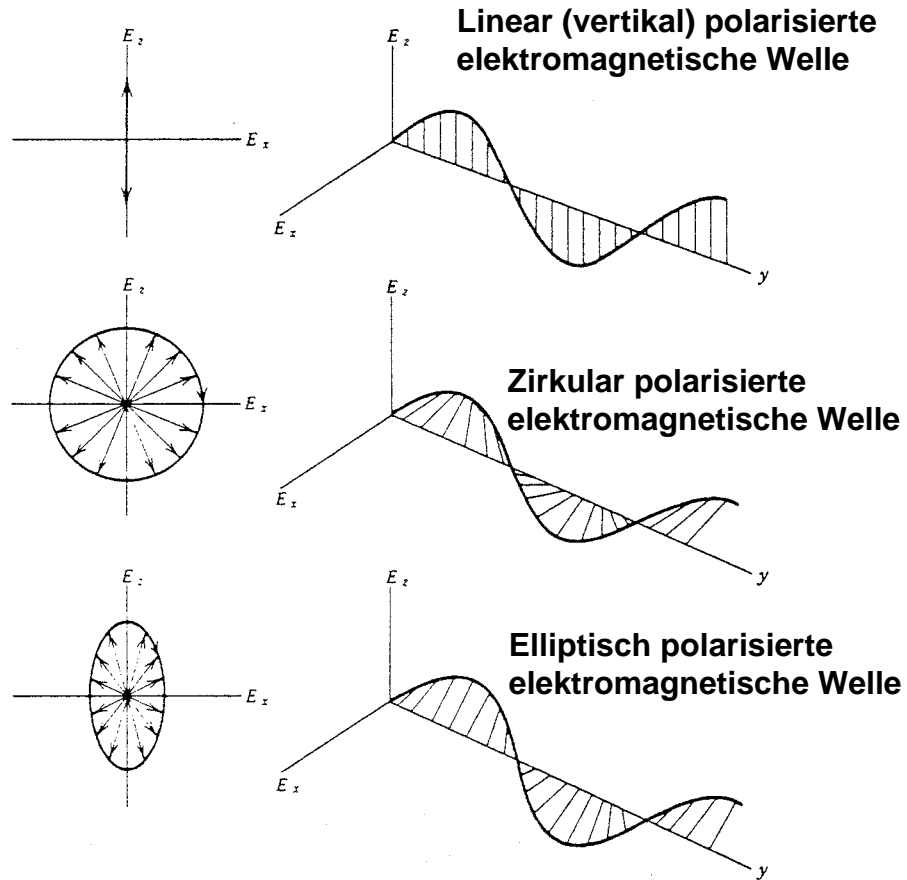
Experimentell zugänglich $\langle I(q,t) \rangle_T = \langle I(q,t) \rangle_E$ Theoretisch zugänglich



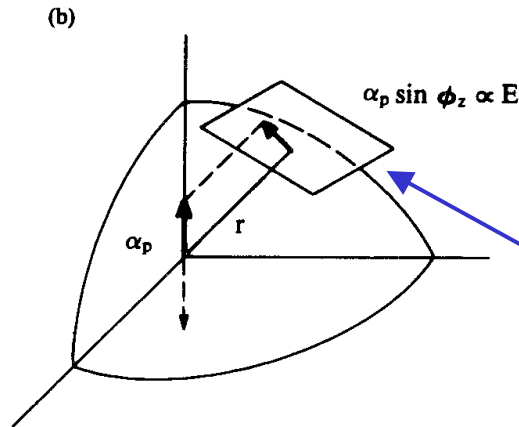
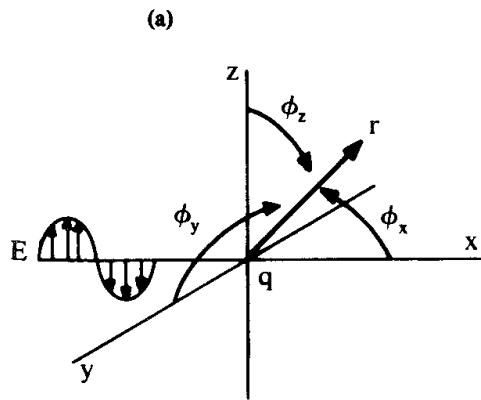
Zeitmittel **Ensemblemittel (Scharmittel)**

Grundlagen der Streuung: Teil III – Wechselwirkung zwischen Elektron und Elektromagnetischem Feld

- Polarization des E-Felds



Wechselwirkung zwischen Elektron und Elektromagnetischem Feld: Hertzsche Dipolstrahlung



Amplitude des abgestrahlten E-Felds ist proportional zur Projektion der Beschleunigung in die Detektionsebene

Figure 5.3 (a) The coordinates of an electric field \mathbf{E} relative to an oscillating charge located at the origin. (b) Projection of the acceleration in the plane perpendicular to the line of sight.

Keine Abstrahlung in Richtung der Beschleunigung (Antennenstrahlung)

Vertikal (linear) polarisiertes Licht:

$$\vec{E}_s = \frac{q a_p \sin \phi_z}{4\pi\epsilon_0 c^2 r}$$

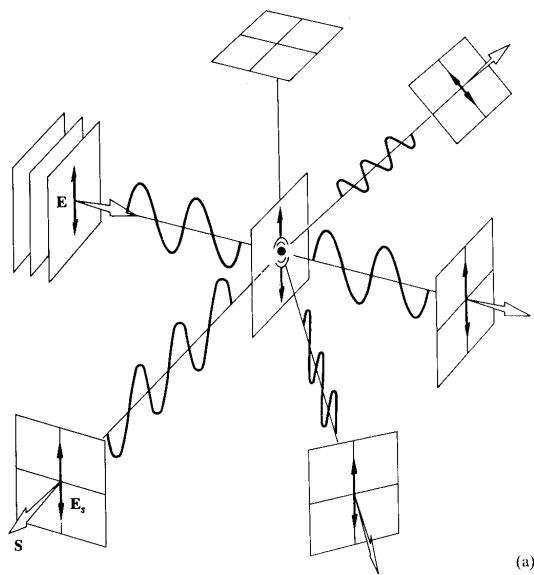
q = Ladung

a_p = periodische Beschleunigung

c = Lichtgeschwindigkeit

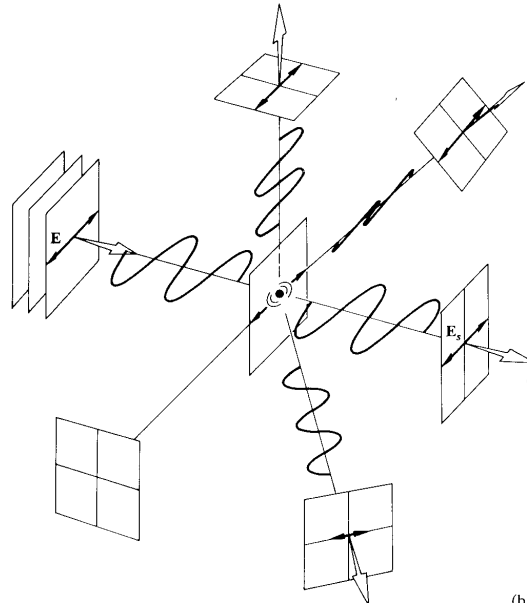
ϵ_0 = elektrische Feldkonstante

Wechselwirkung zwischen Elektron und Elektromagnetischem Feld: Polarisation des Streulichts



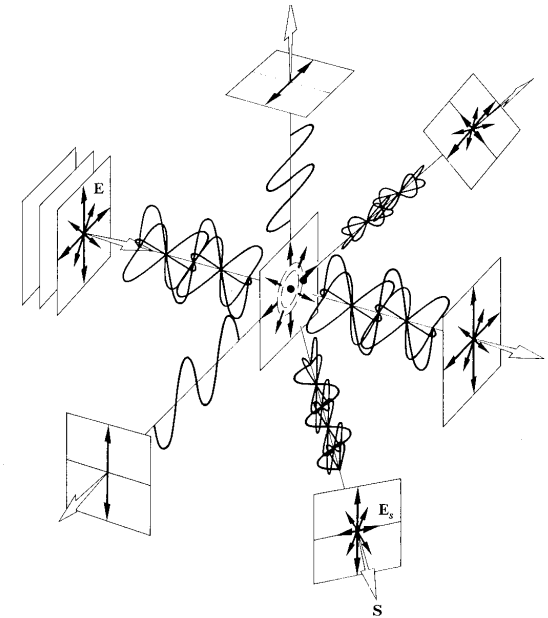
(a)

Vertikal polarisiert



(b)

Horizontal polarisiert



Unpolarisiert – Darstellbar
als Überlagerung von vertikal
und horizontal polarisierter
Strahlung (**Streulicht teilweise
polarisiert**)

Polarisation des Streulichts: Darstellung über Polfiguren

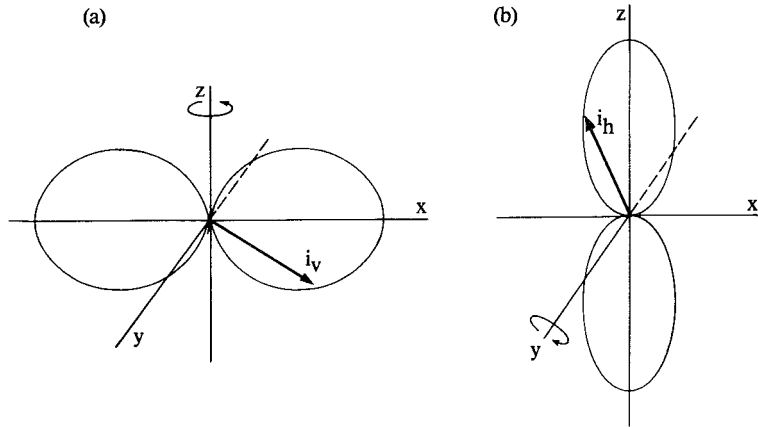


Figure 5.4 The intensity pattern for light scattered by a particle located at the origin. The incident and the scattered light are vertically polarized in (a) and horizontally polarized in (b). The length of the radius vector is proportional to the scattered intensity at each angle.

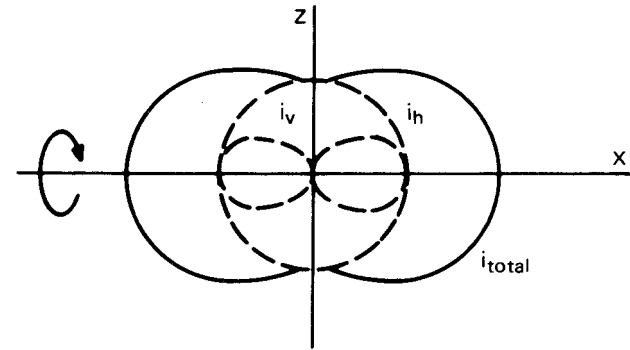
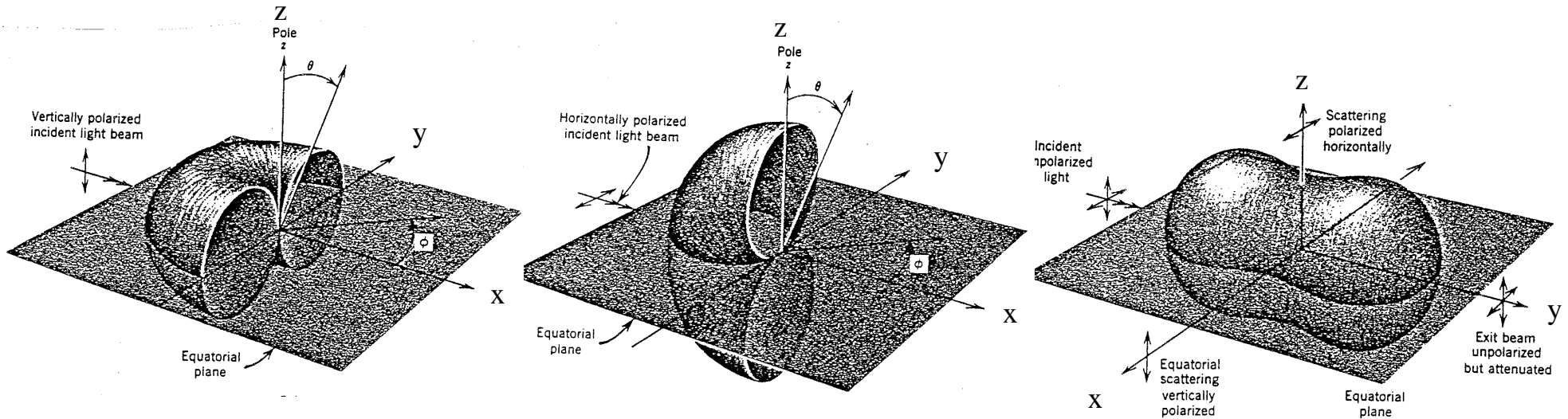


Figure 5.5 Projection in the xz plane of i_v , i_h , and their resultant i_{total} for light scattered by a molecule situated at the origin. The intensity of scattered unpolarized light at any angle ϕ_x is proportional to the length of the radius vector at this angle.



Lichtstreuung an Atomen - Polarisierbarkeiten

Elektrisches Feld polarisiert die Elektronenwolke von Atomen

⇒ Induziertes Dipolmoment $\vec{\mu}_{ind} = \alpha \vec{E}$ $\alpha = \text{Polarisierbarkeit}$

Streufeld E_s ist proportional zur Beschleunigung des induzierten Dipolmoments

$$\vec{E}_s(t) = \frac{1}{4\pi\epsilon_0} \frac{d^2\mu}{dt^2} \frac{\sin\phi_z}{r} = \frac{\alpha\omega^2 \sin\phi_z}{4\pi\epsilon_0 c^2} E(t)$$

$\alpha/4\pi\epsilon_0$ hat die Dimension eines Volumens

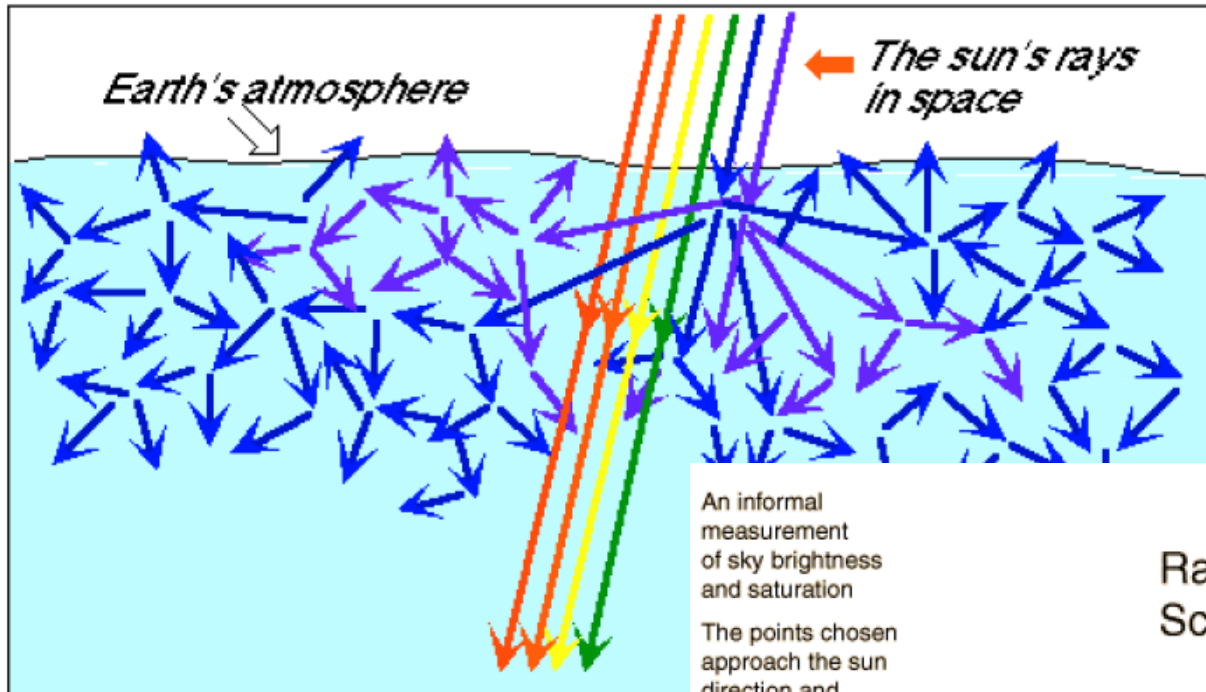
$$I_s = |E|^2 \propto \frac{V_{atom}}{\lambda^4}$$

Rayleighstreuung

Atom	He	Ne	Ar	Kr	Xe
$\alpha/4\pi\epsilon_0 [\text{\AA}^3]$	0.205	0.395	1.64	2.48	4.04

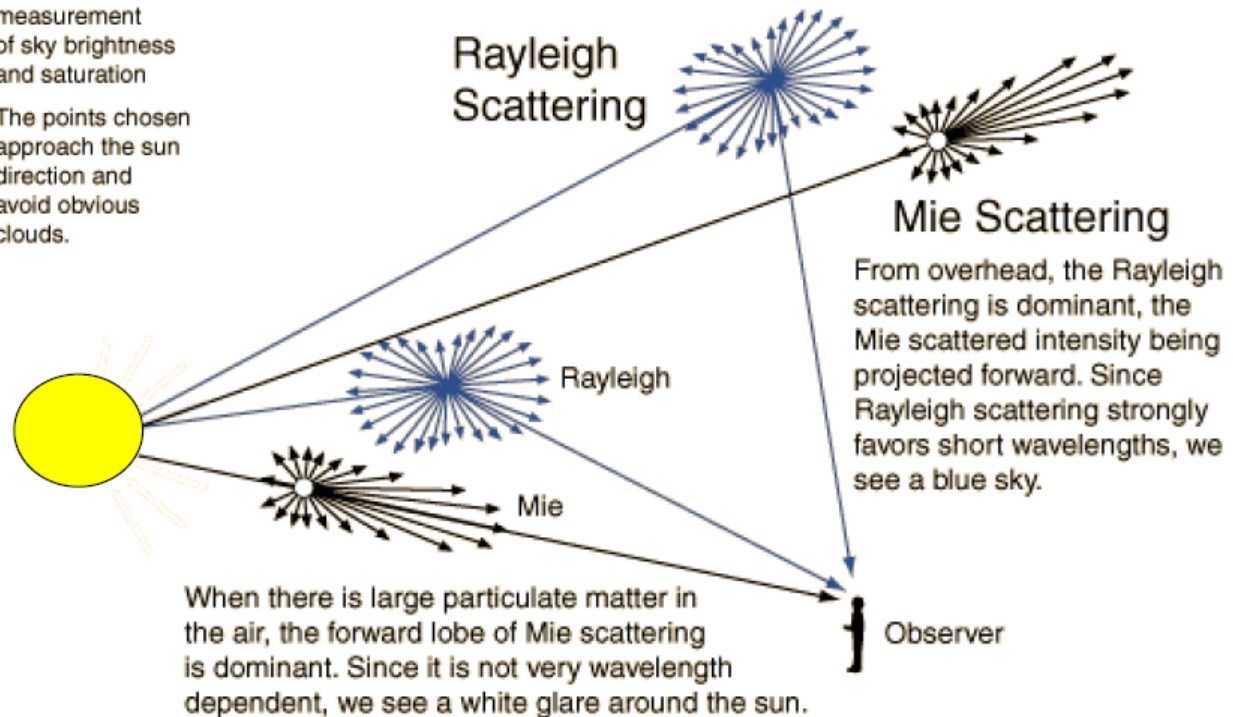
Atom	Li	Na	K	Rb	Cs
$\alpha/4\pi\epsilon_0 [\text{\AA}^3]$	24.3	23.6	43.4	47.3	59.6

Warum ist der Himmel Blau?



$$I \propto \frac{1}{\lambda^4}$$

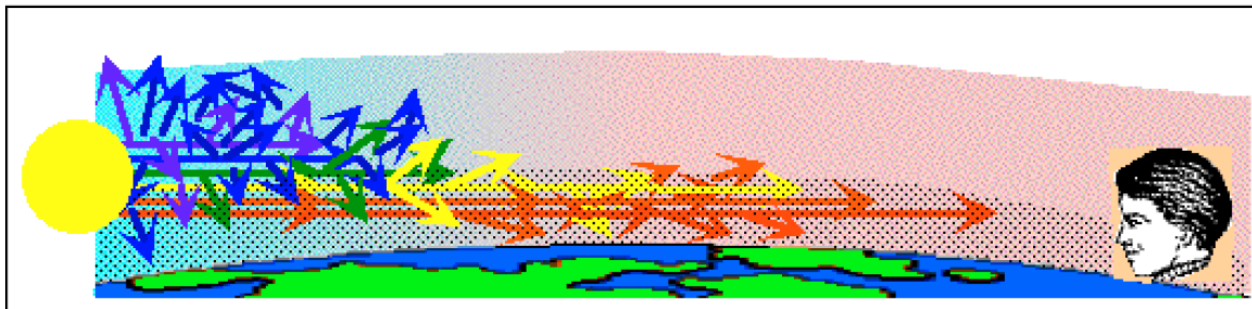
An informal measurement of sky brightness and saturation
The points chosen approach the sun direction and avoid obvious clouds.



Abendrot - Morgenrot

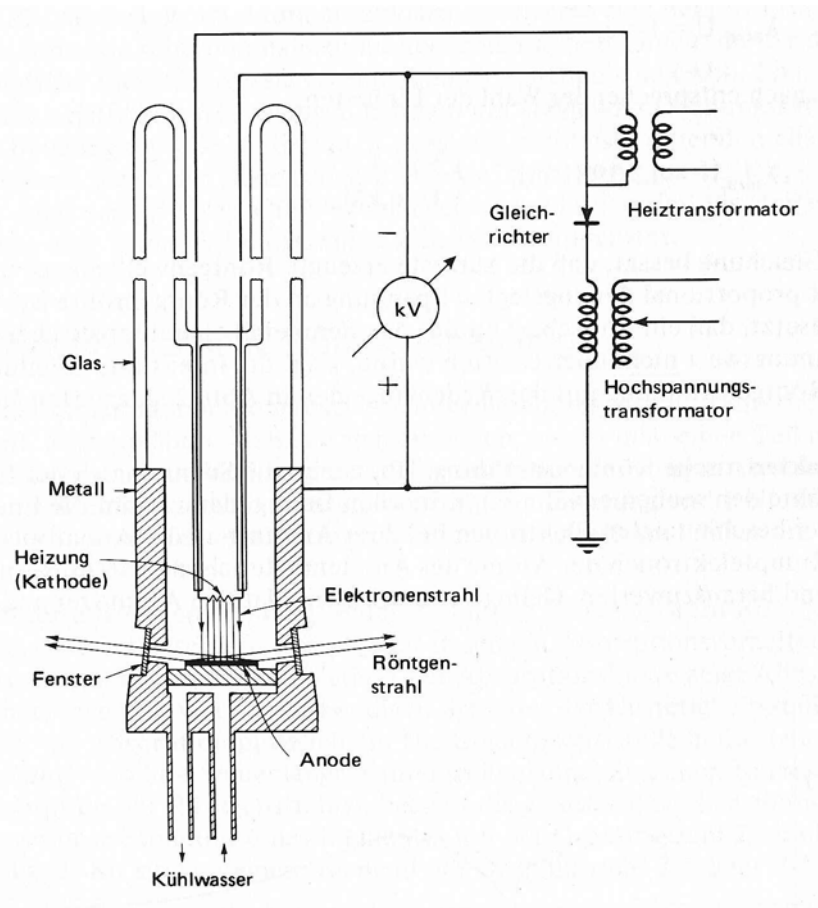
Rayleighstreuung :
das blaue Licht wird auf dem Weg
zum Beobachter weggestreut:

Nur rotes Licht kommt noch an

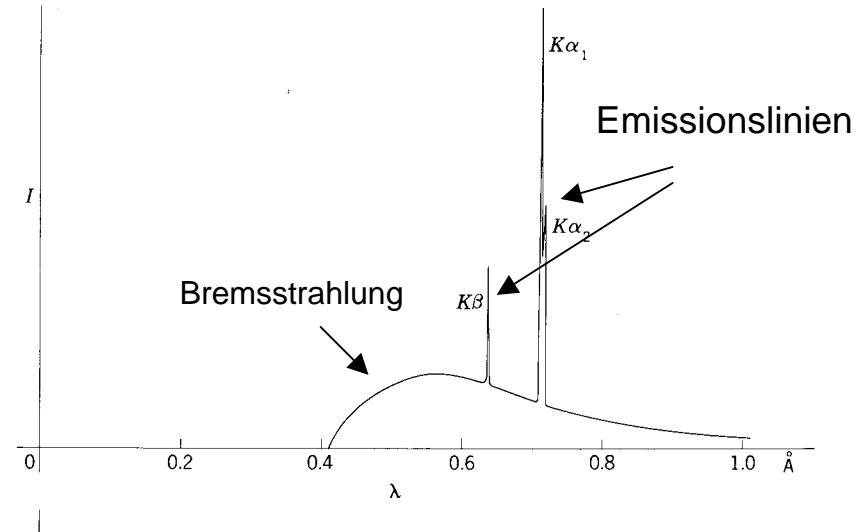


Erzeugung von Röntgenstrahlen (→ SAXS = Small Angle Xray Scattering)

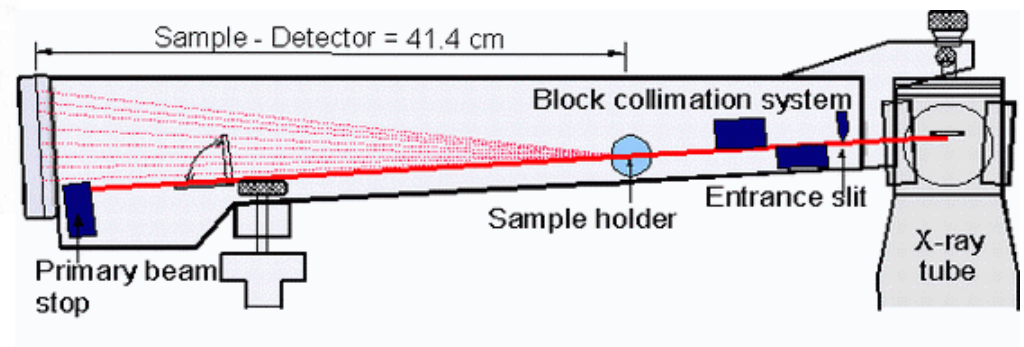
Prinzip der Röntgenröhre



Emissionsspektrum eines Mo Targets

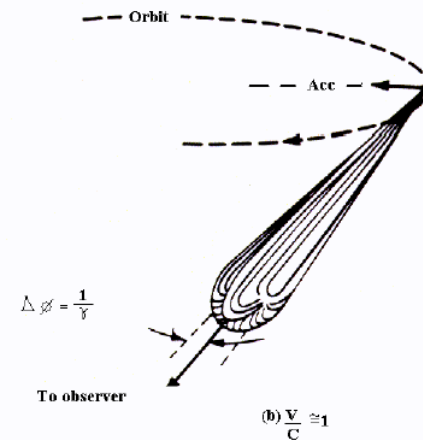
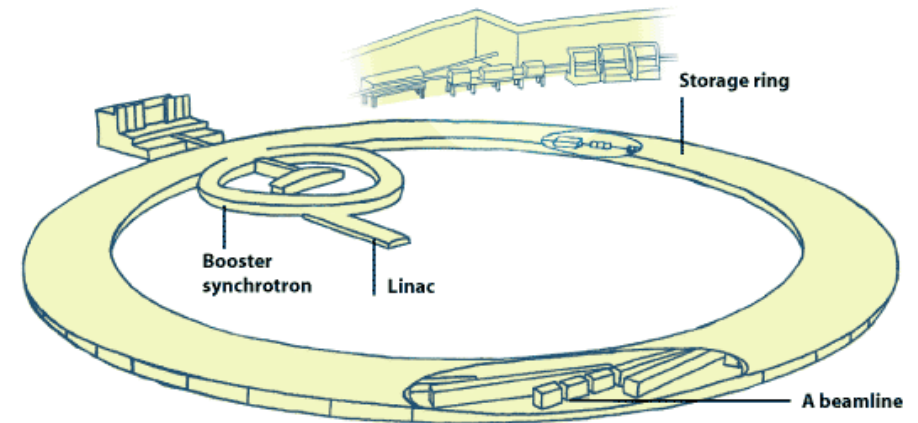


Aufbau einer Röntgenkleinwinkelkamera



Erzeugung von Röntgenstrahlen

Synchrotronstrahlung: ESRF in Grenoble



- Elektronenbewegung mit Relativistischer Geschwindigkeit:
- tangentielle Abstrahlung mit hoher Kollimation
 - hohe Leistungsdichte (Intensität)
 - kontinuierliches Durchstimmen Wellenlänge

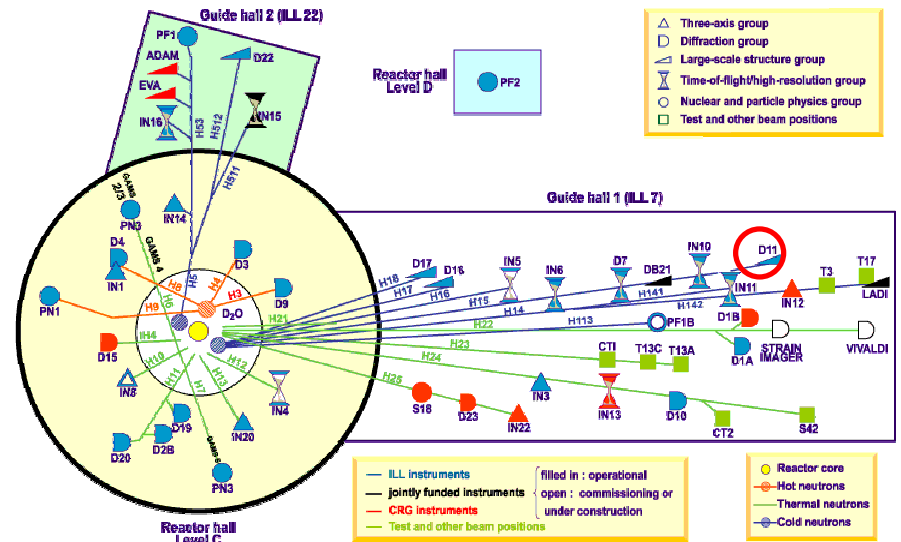
ESRF = European Synchrotron Radiation Facility

Erzeugung von Neutronen (→ SANS = Small Angle Neutron Scattering)

Neutronen aus dem Reaktor:
ILL in Grenoble



ILL = Institut Laue-Langevin



○ D11

